

FastImage1300에서의 효율적인 MPEG-4 부호화기 구현

권구현⁰ 김성훈 명진수 오승준, 정광수
 광운대학교 전자공학부

{lpg9453⁰, kungfu, blackart, sjoh}@media.gwu.ac.kr, and kchung@daisy.gwu.ac.kr

Implementing of an efficient MPEG-4 Encoder on FastImage1300

Ku-Hyun Kwon⁰ Seong-Hoon Kim Jin-Su Myung Seung-Jun Oh and Kwangsoo Chung
 School of Electronics Engineering, Kwangwoon University

요약

본 논문은 FastImage1300가 제공하는 병렬처리 구조를 사용하여 최적의 MPEG-4 부호화기를 구현하기 위한 프로세서 및 데이터 관리 방법을 제시한다. MPEG-4 부호화기가 가진 병렬성과 순차성을 FastImage1300 특성에 맞추어서 이 시스템이 제공할 수 있는 최대 속도로 동작하는 MPEG-4 부호화기를 구현한다. 이 부호화기를 사용하여 CIF 영상을 MPEG-4 CP@L3로 최대 25fps까지 부호화 할 수 있다.

1. 서론

최근 디지털 멀티미디어 정보 서비스들이 급속도로 확산되고 있다. 이러한 멀티미디어 정보의 효율적인 전송과 저장을 위해 국제 표준화 기구에서 표준들을 정하고 있으며 그 중의 하나인 MPEG-4 표준은 저가적이며 고성능인 멀티미디어 통신 서비스를 고려하여 유동적으로 기존의 방식 및 새로운 기능들을 모두 지원할 수 있는 부호화 도구와 알고리즘을 제공한다.

그러나 부호화 과정 중에는 움직임 추정 및 DCT(Discrete Cosine Transform)와 같이 많은 계산을 요구하는 부분이 존재하여 단일 프로세서를 사용하여 실시간 구현을 하기가 쉽지 않다. 이러한 문제점을 해결하기 위하여 멀티프로세서를 사용하여 병렬로 처리하는 방법이 제시되었다. 이러한 병렬처리 구조에는 데이터 분할에 의한 병렬처리와 작업 파이프라인에 의한 병렬처리 방법이 있다.[1]

본 고에서는 FastImage1300이 제공하는 병렬처리 구조를 사용하여 최적의 CP@L3(Core profile@Level 3) MPEG-4 부호화기를 구현하기 위한 프로세서 및 데이터 관리 방법을 제시한다. MPEG-4 부호화기가 가진 병렬성과 순차성을 FastImage1300 특성에 맞추어서 이 시스템이 제공할 수 있는 최대 속도로 동작하는 MPEG-4 부호화기를 구현한다.

2. FastImage1300 구조

FastImage1300은 호스트 시스템상에서 4개의 연속적인 비디오 스트림까지 처리할 수 있는 시스템이다. FastImage1300은 그림 1과 같이 4개의 Trimedia TM1300 PCI 미디어 프로세서(TM0~TM3)로 구성되어 있으며 각 프로세서는 8Mbyte에서 16Mbyte의 국부메모리를 갖는다. 또한 FastMem이라는 공유 메모리가 PMC 슬롯을 통하여 연결가능하며 이러한 FastMem의 최대 용량은 512Mbyte이다.

3. 병렬처리 구조의 적용

3.1 MPEG-4 부호화 과정의 모듈별 계산량 분석

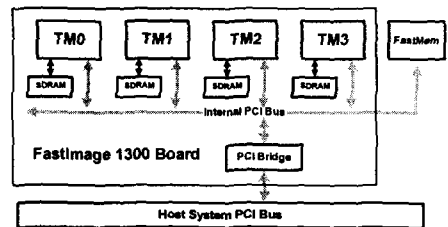


그림 1 FastImage1300 블록도

표 1은 각 모듈별로 최적화 작업을 수행한 후 단일 프로세서를 사용하여 CIF 크기의 Foreman 영상 1프레임을 부호화 하는데 필요한 각 모듈별 최대 수행시간을 측정된 것이다.

표 1 단일 프로세서 상에서의 모듈별 작업 부하 (단위:ms)

Module Name		I VOP	P VOP	B VOP
ME	Integer Pel	N/A	50	29
	Half Pel	N/A	40	17
MC		N/A	13	18
Diff_DCT/Add_DCT		N/A	14	7
Quant/Dequant		6	12	7
IDCT/DCT		6	N/A	N/A
VLC		32	27	16
Total		44	156	94

표 1에서 Diff_DCT는 예측오차를 구하고 DCT를 수행하는 모듈이며, Add_IDCT모듈은 양자화된 예측 오차에 대해 IDCT를 수행하고 참조영상과 합하여 재구성된 영상을 만드는 모듈이다. 표 1에 보였듯이 P VOP의 부호화는 Advance Prediction Mode를 사용하기 때문에 전체과정 중 움직임 추정이 가장 많은 계산량을 요구한다.

3.2 작업 파이프라인에 의한 병렬처리 구조의 적용

MPEG-4 부호화에 대하여 작업 파이프라인에 의한 병렬처리 구조를 적용하는데 있어서 주안점은 작업 부하의 균등한 분할

이다.[2] 이러한 점을 고려하여 FastImage1300상에 MPEG-4의 부호화과정을 구성하면 그림 2와 같이 구성되며 이 때의 각 프로세서에 대한 작업 부하 및 역할은 표 2와 같다.

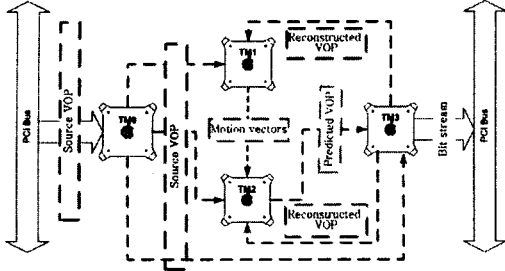


그림 2 작업 파이프라인에 의한 병렬처리 구조

표 2 각 프로세서별 작업 부하 및 역할 (단위:ms)

Processor	P VOP	B VOP	역 할
TM0	35	35	■ Fetch source image.
TM1	50	29	■ Integer Pel ME
TM2	53	35	■ Half Pel ME ■ MC
TM3	53	30	■ Diff_DCT/Add_IDCT ■ Quant/Dequant ■ VLC

3.3 데이터 분할에 의한 병렬처리 구조의 적용

FastImage1300에서 데이터 분할에 의한 병렬처리 구조를 MPEG-4 부호화 과정에 적용하면 그림 3과 같이 구성되며 이 때의 각 프로세서에 대한 작업 부하 및 역할은 표 3과 같다.

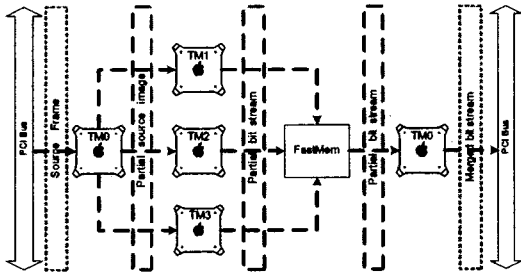


그림 3 데이터 분할에 의한 병렬처리 구조

전체적인 부호화 과정은 마스터 프로세서(TM0)가 원 영상을 읽은 후 각 프로세서에게 데이터를 분배하며, 분할된 영상은 각 슬레이브 프로세서(TM1/TM2/TM3)에서 각각 부호화 된다. 분할된 영상이 각각의 슬레이브 프로세서에서 부호화될 때 마스터 프로세서는 다음에 부호화될 원 영상을 미리 가져오며, 그 후 각 슬레이브 프로세서가 생성한 비트스트림이 FastMem에 모두 옮겨지게 되면 마스터 프로세서는 각각의 부분적인 비트스트림을 자신의 로컬 메모리로 가져온 후 하나의 비트스트림으로 병합한다. 이 때 다른 슬레이브 프로세서들은 복원된 영상의 교환을 수행하게 된다.

3.4 분석

표 3 각 프로세서별 작업부하 및 역할 (단위:ms)

Processor	P VOP	B VOP	역 할
TM0	38	38	■ Fetch source image ■ Merge bit stream
TM1	52	31	■ All encoding process ■ exchange reconstruction regions
TM2	52	31	■ All encoding process ■ exchange reconstruction regions
TM3	52	31	■ All encoding process ■ exchange reconstruction regions

병렬처리 구조에서 부호화 알고리즘상의 데이터 종속성이 없다고 가정하면 전체 처리율에 중요한 요소로서 데이터의 I/O (Input/Output)가 있다. 또한 처리되는 대상이 영상이므로 많은 양의 데이터를 고속으로 처리하게 되며 이로 인하여 많은 양의 데이터 I/O가 발생한다. FastImage1300와 같이 여러 개의 프로세서가 동일한 버스를 공유하여 사용하는 구조에서는 데이터의 I/O가 전체 처리율을 제한하는 요소가 되므로 기술한 두 구조에서 발생하는 데이터의 I/O양을 비교해야 할 필요가 있다.

표 4는 CIF 크기의 영상에 대하여 단일 프레임 부호화할 경우 각각의 병렬처리 구조에서 발생하는 데이터의 I/O양과 부호화 시간을 고려하여 부호화 할 수 있는 최대 프레임율을 나타내었다.

표 4에서 데이터 이동시간에 대한 가정은 FastImage1300에서 버스의 최대 대역폭(70Mbyte/s)을 사용하며 표에 나타내지 않은 사항들은 처리시간이 작아서 무시된다고 가정하였다.

표 4 각 구조별 데이터의 이동량

데이터 종류	작업 파이프라인	데이터 분할
데이터의 이동량 (byte)	918624	190528
데이터 I/O 시간 (ms)	13.1	2.7
부호화 시간 (ms)	53	52
최대 프레임율 (fps)	15.1	18.2

표 4에서 보인바와 같이 작업 파이프라인에 의한 병렬처리구조는 많은 양의 데이터 I/O로 인하여 FastImage1300와 같이 여러개의 프로세서가 동일한 버스를 공유하여 사용하는 구조에는 적합하지 않음을 알 수 있다. 따라서 본 논문에서는 MPEG-4 부호화 과정에 데이터 분할에 의한 병렬처리 구조를 적용하여 구현하였다.

4. 구현

데이터 분할에 의한 병렬처리 구조를 MPEG-4 부호화 과정에 적용시키기 위해서는 다음 사항을 고려해야 한다.

4.1 고려사항

4.1.1 데이터의 종속성 제거

MPEG-4 부호화 과정 중에는 DC/AC 예측 및 움직임 벡터 예측과 같이 주변 블록을 참조하여 부호화하는 과정이 있다. 하지만 데이터 분할에 의한 병렬처리를 적용하게 되면 동일한 시점에서 분할된 영상이 각 프로세서에서 독립적으로 부호화되므로 참조할 주변 블록이 다른 프로세서에서 처리될 때까지 대기해야 한다. 이러한 문제를 해결하기 위하여 MPEG-4 Error Resilience Tool 중의 Resync Marker를 사용하였다.

4.1.2 재구성된 영역의 교환

MPEG-4 부호화는 기본적으로 UMV(Unrestricted Motion Vector)를 사용하므로 복원영상을 만들 때에는 부득이하게 그림 4와 같은 재구성된 영상의 교환을 수행해야 한다.

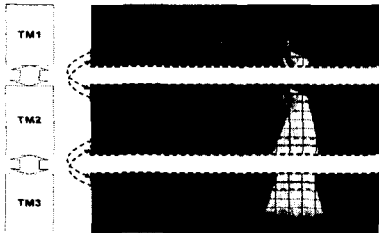


그림 4 영상 복원시 슬레이브 프로세서 사이의 데이터 교환

4.2 시스템 설계

본 논문에서는 위의 분석을 바탕으로 FastImage1300에서 4개의 Trimedia TM1300를 사용하여 MPEG-4 부호화기를 설계하였으며 이에 대한 구조는 그림 3과 동일하며 각 프로세서별 Flow chart는 그림 6에 나타내었다.

5. 실험 결과

본 논문에서 제안한 MPEG-4 CP@L3 부호화기의 성능을 분석하기 위하여 4개의 Trimedia TM1300 프로세서를 사용하여 CIF 크기의 영상을 부호화 하였을 때의 부호화 속도를 표 4에 나타내었으며, Foreman 영상의 부호화시 각 작업별 시간 점유클에 대한 분석을 그림 6에 나타내었다.

표 4 CIF 영상 사이즈에 대한 MPEG-4 부호화 성능(단위:fps)

Test sequence	CBR (384Kbps)	VBR
Akiyo	24	25
Table	21	20
Foreman	20	19

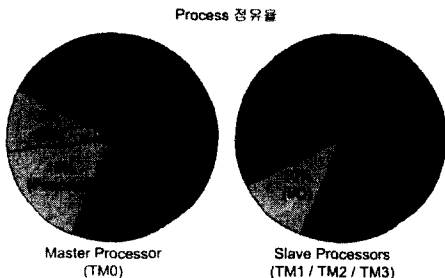


그림 6 각 프로세서별 작업시간 분석

그림 6에서 I/O는 프로세서간 데이터 이동을 의미하며 Process는 프로세서가 실제로 수행한 부호화 작업을 의미한다. 슬레이브 프로세서는 전체 부호화 시간 중 10%를 데이터 I/O에 사용하였으며 11%의 프로세서 유휴시간이 발생하였다. 이러한 유휴시간의 원인은 재구성 영상을 교환하기 위한 각 프로세서의 동기화 및 마스터 프로세서가 영상 데이터를 분배할 때 발생하는 지연에 의해서 발생하였다.

6. 결론

본 논문은 FastImage1300에서 MPEG-4 CP@L3 부호화 과정의 효율적인 프로세서 및 데이터 관리 방법을 제시하였으며 제시된 방법을 통하여 CIF 영상에 대하여 최고 25fps로 부호화할 수 있었다.

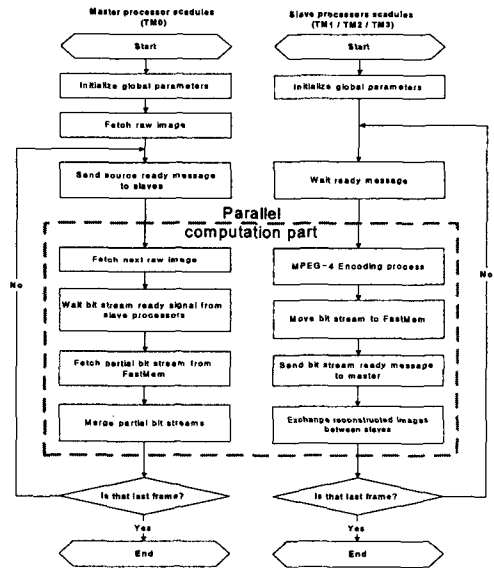


그림 6 마스터 및 슬레이브 프로세서의 Flow chart

감사의 글

본 연구는 한국과학재단 목적기초연구 (R01-2002-000-00179-0) 지원으로 수행되었음

참고문헌

- [1]. Downton, A. Crookes, D "Parallel architectures for image processing", IEEE Electronics & Communication Engineering Journal, pp.139-151, Jun 1998.
- [2]. Yung, N.H.C; Chu, K.C., "Fast and parallel video encoding by workload balancing", 1998 IEEE International Conference on System, Man, Cybernetics, pp.4642-4647 Oct 1998.
- [3]. Alacron "FastImage 1300 Hardware Users Guide", Sept. 2000.
- [4]. ISO/IEC, JTC1/SC29/WG11, N3515, "MPEG-4 Video Verification Model Version 17.0", Jul. 2000.